

Е.Б. Самойлов,  
кандидат техн. наук;  
В.В. Шмелёв,  
кандидат техн. наук

## МЕТОД СИНТЕЗА ФУНКЦИОНАЛЬНО-ЛОГИЧЕСКИХ ПРОГРАММ ПОТОКОВЫХ ВЫЧИСЛЕНИЙ ПРИ МОНИТОРИНГЕ СОСТОЯНИЯ ТЕХНИЧЕСКИХ СИСТЕМ

Предлагается научно-методическая основа мониторинга процессов функционирования космических средств. Мониторинг представляется потоковыми вычислениями над технической и технологической информацией, формируемой объектом контроля. Классическая процедура разработки программы вычислений адаптируется к использованию аппарата формального описания алгоритмов с помощью модифицированных цветных сетей Петри и G-сетей, которые объединяются термином «вычислительные сети». В качестве исходной информации для синтеза используются таблицы хронометража и диаграммы Гантта, как наиболее распространенные способы представления циклограмм функционирования космических средств. Отличительным достоинством предложенного метода синтеза является возможность корректировки создаваемой программы с целью выявления и компенсации ошибок синтеза. Для обеспечения такой возможности предусматриваются процедуры синтаксической и семантической верификации программы. Практическая значимость метода заключается в учете при синтезе программ потоковых вычислений факторов, негативно воздействующих на процессы формирования, сбора, обработки и анализа телеметрической информации космических средств. Изложение сопровождается примером синтеза программы потоковых вычислений.

Ключевые слова: теория вычислений, функционально-логическое программирование, потоковые вычисления, обработка измерительной информации, мониторинг технических систем.

### ВВЕДЕНИЕ

Системный анализ [1] причин аварий в отечественной космической отрасли позволяет сделать вывод о наличии значимого недостатка в системе мониторинга состояния технических систем (ТС) космических средств (КСр). Сегодня назрела острая необходимость изменения подхода к анализу телеметрической информации КСр. Если раньше было достаточно определения точечных значений контролируемых характеристик и сравнения их с допустимыми границами, то сегодня необходимо оценивание правильности процессов функционирования систем объекта мониторинга в целом. Для достижения этой цели предлагается проводить мониторинг КСр на основе функционально-логических программ потоковых вычислений по разнородной информации, получаемой в результате испытаний и применения КСр. Методу синтеза таких программ и посвящена статья.

В статье используется следующий ряд понятий. *Программой* называется система вычислений, которая для некоторого набора исходных данных позволяет по однозначно определенной последовательности действий, выполняемых «механически» (без участия человека) получить результат [2]. *Функционально-логической программой* называется программа, создаваемая в результате применения принципов функционального программирования с реализацией логических взаимосвязей между операторами. Под *потоковыми вычислениями* понимается обработка информации различного рода (измерительной, технологической) с целью определения состояния ТС, т. е. осуществления мониторинга ТС. Особенностью процесса обработки такой информации является обеспечение параллелизма и асинхронности выполнения совокупностей операторов [3].

## ПОСТАНОВКА ЗАДАЧИ СИНТЕЗА ПРОГРАММЫ ПОТОКОВЫХ ВЫЧИСЛЕНИЙ

### Исходные данные для синтеза программы

Исходная спецификация программы потоковых вычислений при мониторинге процесса  $R^I$  (кратко – программа  $R^I$ ) представляется кортежем:

$$R^I = \langle S^I, L \rangle, \quad (1)$$

где  $S^I$  – это множество операций программы  $R^I$ ,  $S^I = \{S_k^I \mid k = 1, \dots, \text{card}(I_s)\}$ , при этом  $I_s$  – множество номеров операций;

$L$  – множество кортежей, обуславливающих выполнение операций,  
 $L = \{l_k \mid k = 1, \dots, \text{card}(I_s)\}$ .

Кортеж  $l_k$  определяется следующим образом:

$$l_k = \langle K_k(x), t_k, \tau_k \rangle, \quad (2)$$

где  $K_k(x)$  – управляющий кортеж для операции  $S_k^I$ ,  $K_k(x) = \langle B_b^{(k)}(x), B_f^{(k)}(x) \rangle$ , при этом  $B_b^{(k)}(x)$  – предикат, обуславливающий начало выполнения операции,  $b$  – «begin»;  $B_f^{(k)}(x)$  – предикат, обуславливающий окончание выполнения операции,  $f$  – «finite»,  $x$  – аргумент предикатов  $B_b^{(k)}(x)$  и  $B_f^{(k)}(x)$ , являющийся типом информации, используемой для мониторинга,  $x \in X$ , причем  $X$  – множество возможных типов аргумента  $x$ , в предметной области статьи – это телеметрическая, техническая, технологическая информация;

$t_k$  – момент начала выполнения операции  $S_k^I$ ;

$\tau_k$  – длительность операции  $S_k^I$ .

Величины  $t_k$  и  $\tau_k$  отсчитываются в единицах измерения контролируемого процесса функционирования КСр. Такими единицами могут быть как временные метки системы единого времени, так и события при событийном характере контролируемого процесса.

*Требуется найти:*

1. Структуру формального описания функционально-логической программы  $R$  (кратко – программа  $R$ ) потоковых вычислений.
2. Структуру формального описания унифицированной модели типовой операции (УМТО)  $S$  программы  $R$  потоковых вычислений.
3. Структуру формального описания технических ограничений  $Q$  программы  $R$ .
4.  $O: R^I \rightarrow R$  – структуру оператора  $O$  преобразования программы  $R^I$  в  $R$  – оператор синтеза функционально-логической программы  $R$ .
5.  $\mu: R \rightarrow R^I$  – структуру оператора ресинтеза  $\mu$  программы  $R^I$  по  $R$  для проверки частичной правильности программы по идентичным пред- и постусловиям и проверки завершенности программы.
6.  $\eta = (\eta_1 \cap \eta_2 \cap \eta_3)$  – структуру предиката  $\eta$  проверки сохранения свойства вычислимости в синтезированной программе  $R$ ,  $\eta_1$  – предикат проверки непротиворечивости программы  $R^I$ ,  $\eta_2$  – корректности и  $\eta_3$  – активности.

## КОНЦЕПЦИЯ СИНТЕЗА ФУНКЦИОНАЛЬНО-ЛОГИЧЕСКОЙ ПРОГРАММЫ

В качестве модельной основы синтеза программ предлагается использовать математический аппарат сетей Петри. Это обосновывается тем, что данный абстрактный инструмент считается пригодным для моделирования именно потоковых вычислений, характеризующих-

ся асинхронностью и параллелизмом [4]. Для сетей Петри определен перечень свойств, таких, как покрываемость, достижимость, активность, ограниченность и эквивалентность, которые после интерпретации могут быть использованы для контроля свойств корректности вычислений.

Анализ известных инструментальных сред проектирования схем или моделей программ на основе сетей Петри (например [4–8]) показал, что они не обладают достаточными описательными возможностями. Кроме того, не вводятся процедуры верификации проектируемых программ, остаются только прорабатываемые в первую очередь процедуры непосредственного синтеза.

Таким образом, предлагается организовать мониторинг состояния КСр путем перевода (синтеза программ) потоковых вычислений из исходного описательного представления в прикладное с использованием модификаций сетей Петри. При этом необходимо обеспечить формальную верификацию и новые моделирующие возможности аппарата синтеза для учета потенциальных особенностей процессов функционирования КСр.

Мониторинг состояния КСр на основе функционально-логических программ потоковых вычислений организуется по схеме, состоящей из трех этапов, концептуальное содержание которых представлено на рис. 1.



Рис. 1. Схема организации мониторинга состояния ТС КСр на основе функционально-логической программы потоковых вычислений

Рассмотрим каждый этап, уделив основное внимание наиболее важному этапу II.

## ИНТЕРПРЕТАЦИЯ ИСХОДНОЙ ИНФОРМАЦИИ

Процесс функционирования ТС является инвариантом процесса мониторинга состояния данной системы [11]. Это позволяет использовать в качестве исходной спецификации функционально-логической программы существующие представления процессов функционирования ТС, используемые в космической отрасли. Примем в качестве единого прототипа процесса функционирования ТС таблицу хронометража, пример которой приведен в табл. 1, а соответствующая ей диаграмма Ганта – на рис. 2.

Семантически пример спецификации описывает процесс, состоящий из трех последовательных операций  $O_1$ ,  $O_2$  и  $O_3$ , первая из которых начинается по внешнему сигналу  $K$ , а третья оканчивается по достижению граничного значения измеряемым параметром  $L$ .

Таблица 1

## Пример таблицы хронометража

№	Операция	База	Время от базы	Длительность
1	O <sub>1</sub>	K	0	t <sub>1</sub>
2	O <sub>2</sub>	Окон O <sub>1</sub>	t <sub>1</sub>	t <sub>2</sub>
3	O <sub>3</sub>	Окон O <sub>2</sub>	t <sub>2</sub> +t <sub>1</sub>	Π>1

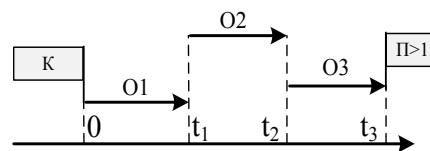


Рис. 2. Пример диаграммы Гантта

В соответствии со вторым шагом этапа I рис. 1 требуется представить исходную информацию в виде кортежа  $R^I = \langle S^I, L \rangle$ . Исходная спецификация – строгое представление информации о контролируемом процессе на основе модифицированной таблицы хронометража. Такое представление приведено в табл. 2.

Таблица 2

Пример исходной спецификации в виде кортежа  $R^I = \langle S^I, L \rangle$  для процесса из таблицы 1

k	$S^I = \{S_k^I \mid k=1,2,3\}$	$B_b^{(k)}$	$B_f^{(k)}$	$t_k$	$\tau_k$
1	O <sub>1</sub>	K	По длительности	0	t <sub>1</sub>
2	O <sub>2</sub>	Окон O <sub>1</sub>	По длительности	t <sub>1</sub>	t <sub>2</sub>
3	O <sub>3</sub>	Окон O <sub>2</sub>	Π>1	t <sub>1</sub> +t <sub>2</sub>	t <sub>3</sub>

Рассмотрим в качестве примера семантическое содержание некоторых предикатов из табл. 2.  $B_b^{(1)} = K$  означает, что условие начала O<sub>1</sub> определяется моментом поступления команды K, в формальном выражении разрешением для начала O<sub>1</sub> является положительный результат проверки  $B_b^{(1)}$ , или  $Pr(B_b^{(1)}) = true$ .  $B_f^{(1)} = \text{По длительности}$  означает, что условием окончания O<sub>1</sub> является достижение заданного значения t<sub>1</sub> длительностью выполнения данной операции.  $B_b^{(3)} = \text{Окон O}_2$  означает, что условием начала O<sub>3</sub> является окончание выполнения O<sub>2</sub>.  $B_f^{(3)} = \Pi > 1$  означает, что условием окончания O<sub>3</sub> является превышение значения 1 измеряемым параметром Π.

## МОДЕЛЬНОЕ ОБЕСПЕЧЕНИЕ СИНТЕЗА ПРОГРАММЫ ВЫЧИСЛЕНИЙ

В соответствии с постановкой задачи для синтеза программы необходимо разработать структуры программы R, УМТО S и технических ограничений Q. В статье данные элементы рассматриваются кратко, дополнительную информацию можно получить в [9].

Функционально-логической программой R потоковых вычислений называется теоретико-множественная конструкция на основе вычислительных сетей Петри следующего вида:

$$R = \langle S, J, Q \rangle. \quad (3)$$

Для синтаксического представления УМТО S используется теоретико-множественный подход. В графологическом виде УМТО представлена на рис. 3. УМТО, по сути, является агентом или примитивом, которую можно назвать функцией разработанного «языка» контролируемых процессов. Структура УМТО описывается кортежем следующего вида:

$$S = \langle P, T, F, B, H^+, H^-, M \rangle,$$

где P – конечное непустое множество переменных модели,  $P = P_{\text{вн}} \cup P_{\text{ин}} \cup P_{\text{out}} = \{p_i \mid i \in I_p\}$

$P_{\text{вн}}$ , при этом  $P_{\text{ин}}$ ,  $P_{\text{out}}$  – множества внутренних, входных и выходных переменных соответственно,  $I_p$  – множество номеров переменных (переменные являются модификацией позиций в сетях Петри);

- $T$  – конечное непустое множество операторов модели,  $T = \{t_j | j \in I_T\}$ , при этом  $I_T$  – множество номеров операторов (операторы являются аналогом переходов в сетях Петри);
- $F$  – входная функция инцидентности, описывающая кратность входной дуги от переменной  $p_i$  к оператору  $t_j$  и ставящая в соответствие с каждой парой  $\langle p_i, t_j \rangle$  целое неотрицательное число из множества  $N$ ,  $F: P \times T \rightarrow N$ ;
- $B$  – входная функция инцидентности, описывающая сбрасывающую дугу [9] от переменной  $p_i$  к оператору  $t_j$  и ставящая в соответствие с каждой парой  $\langle p_i, t_j \rangle$  элемент бинарного множества  $N_b = \{0, 1\}$ ,  $B: P \times T \rightarrow N_b$ ;
- $H^+$  – выходная функция инцидентности, описывающая кратность выходной дуги от оператора  $t_j$  в переменную  $p_i$  и ставящая в соответствие с каждой парой  $\langle t_j, p_i \rangle$  число из множества  $N$ ,  $H^+: T \times P \rightarrow N$ ;
- $H^-$  – выходная функция инцидентности, описывающая кратность выходной извлекающей дуги [9] от оператора  $t_j$  в переменную  $p_i$  и ставящая в соответствие с каждой парой  $\langle t_j, p_i \rangle$  число из множества  $N$ ,  $H^-: T \times P \rightarrow N$ ;
- $M$  – функция, которая с каждым элементом  $p_i \in P$  ставит в соответствие элемент из множества  $N$ .

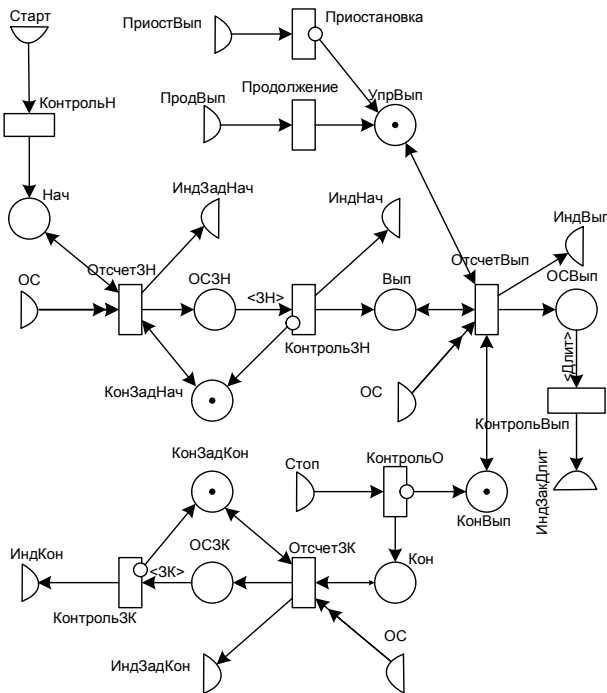


Рис. 3. Графический вид схемы УМТО

На рис. 3 входные переменные обозначены полукругом с выходящей стрелкой, внутренние – кругом, выходные – полукругом с входящей стрелкой, операторы обозначены прямоугольниками, входные дуги обозначаются простыми стрелками, сбрасывающая дуга обозначается стрелкой с двойным окончанием, выходные дуги обозначаются простыми стрелками, извлекающая дуга обозначена стрелкой с малым кружком в начале. Данная схема (за исключением входных и выходных переменных) может быть заменена специальным оператором-процедурой, представленным на рис. 4. На данном рисунке в левой части оператора-процедуры представлены входные переменные, в правой – выходные. Внутри оператора-процедуры представлены значения функции инцидентности  $F$ , определяющие целочисленные значения длительностей задержек начала и окончания выполнения

операции, а также длительности непосредственного выполнения экземпляра УМТО.

Далее будем считать, что  $k$ -й экземпляр УМТО является оператором  $S_k$  функционально-логической программы  $R$ , для краткости обозначим его операцией  $S_k$ . Для проверки работы схемы УМТО использована среда CPN Tools [7, 8], позволяющая создавать и исследовать иерархические, модифицированные (цветные и расширенные) модели процессов.

Зададим  $J = \{J_k | k=1, \dots, \text{card}(I_s)\}$  – множество функций инцидентности между экземплярами УМТО. Его элемент можно представить как следующий кортеж:

$$J_k = \langle J_{in}^{(k)}: P_{out}^{(l)} \times P_{in}^{(k)} \rightarrow N, J_{out}^{(k)}: P_{out}^{(k)} \times P_{in}^{(m)} \rightarrow N \rangle, \quad (4)$$

который описывает конкатенацию выходных переменных  $P_{out}^{(l)}$  операции  $S_l$  и входных переменных  $P_{in}^{(k)}$  операции  $S_k$ , а также выходных переменных  $P_{out}^{(k)}$  операции  $S_k$  и входных переменных  $P_{in}^{(m)}$  операции  $S_m$ ,  $k, m, l \in I_s$ .

Выражение (4) показывает формальное задание функции инцидентности  $J_k$ , в графологическом виде конкатенация операторов-процедур представляется соединением или склеиванием соответствующих входных и выходных переменных экземпляров УМТО.

Зададим  $Q = \{Q_k \mid k=1, \dots, \text{card}(I_s)\}$  – множество отношений, определяющих варианты выполнения синтезируемой программы.  $Q_k = \{q_c^{(k)} \mid c=1, \dots, \text{card}(Q_k)\}$ , где  $q_c^{(k)}$  –  $c$ -е ограничение операции  $S_k$ , в математических формализмах данное ограничение является предикатом. Введем в модельное обеспечение синтеза программы потоковых вычислений  $z$ -модель ( $z$  – значение), представленную в графологическом виде на рис. 5.  $Z$ -моделью технических ограничений программы называется теоретико-множественная конструкция следующего вида:

$$q_c^{(k)} = \langle X, ZP, PT, ZF, H, ZM \rangle,$$

где  $X$  – множество возможных типов аргумента в ограничении, см. раскрытие кортежа (2);

$ZP$  – конечное непустое множество  $z$ -переменных,  $ZP = \{zp_i \mid i=1, \dots, \text{card}(I_{ZP})\}$ , при этом  $I_{ZP}$  – множество номеров  $z$ -переменных;

$PT$  – конечное непустое множество предикатных операторов,  $PT = \{pt_j \mid j=1, \dots, \text{card}(I_{PT})\}$ , при этом  $I_{PT}$  – множество номеров предикатных операторов;

$ZF$  – входная функция инцидентности, описывающая входную, всегда однократную дугу от  $z$ -переменной  $zp_i$  к предикатному оператору  $pt_j$ ,  $ZF: ZP \times PT \rightarrow \{0, 1\}$ ;

$H$  – выходная функция инцидентности, описывающая кратность выходной дуги от предикатного оператора  $pt_j$  в входную переменную  $p_i \in P_{in}$ ,  $H: PT \times P \rightarrow \{0, 1\}$ ;

$ZM$  – функция, которая каждой  $z$ -переменной  $zp_i$  ставит в соответствие элемент  $d_i$  некоторого множества  $D$  возможных значений типа информации из множества  $X$ ,  $ZM: ZP \rightarrow D$ .

При работе с конкретным типом  $x \in X$  к указанным элементам добавляется нижний индекс  $(x)$ . Тогда  $d_{i(x)}$  – значение используемой при мониторинге информации типа  $x$ , например, теле-

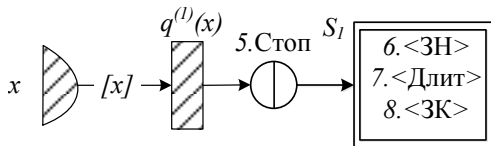


Рис. 5. Схема учета технических ограничений контролируемого процесса функционирования КСр в синтезируемой программе

метрируемого параметра  $x$ , из некоторого множества  $D_{(x)}$  возможных значений типа информации  $x \in X$ . Таким образом, можно записать  $zm_i: zp_i \rightarrow d_{i(x)}$ , что означает: функция  $zm_i$  сопоставляет с  $z$ -переменной  $zp_i$  значение  $d_{i(x)}$ .

На рис. 5  $z$ -переменная обозначена заштрихованным полукругом, предикатный оператор – заштрихованным прямоугольником, дуги – стрелками.

Для учета в синтезируемой программе технических ограничений  $Q$  с предикатным оператором  $pt_j$  сопоставляется предикат  $q_c^{(k)}(x)$ , в котором аргументом является  $x$ . Установим, что предикатный оператор  $pt_j$  разрешен, если значение  $d_{i(x)}$  его  $z$ -переменной  $zp_i$  обеспечивает истинность предикату  $q_c^{(k)}(x)$ . В формальном виде оператор  $pt_j$  с сопоставленным предикатом  $q_c^{(k)}(x)$  и со значением  $d_{i(x)}$   $z$ -переменной  $zp_i$  разрешен, если  $zm_i: d_{i(x)} \rightarrow \text{Pr}(q_c^{(k)}(d_{i(x)})) = \text{true}$ . Областью применимости  $D(q_c^{(k)}(x))$  предикатного оператора  $pt_j$  называется такое множество значений  $d_{i(x)}$  из  $D_{(x)}$ , все элементы которого обеспечивают  $\text{Pr}(q_c^{(k)}(d_{i(x)})) = \text{true}$ .

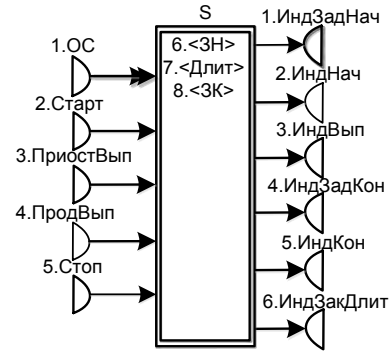


Рис. 4. Оператор-процедура

## СИНТЕЗ ПРОГРАММЫ ПОТОКОВЫХ ВЫЧИСЛЕНИЙ

Итак, выше было рассмотрено модельное обеспечение синтеза функционально-логических программ потоковых вычислений. Теперь необходимо рассмотреть порядок его применения непосредственно при синтезе.

Этап II схемы организации мониторинга, представленной на рис. 1, является прикладной интерпретацией порядка реализации операторов  $O$ ,  $\mu$  и  $\eta$  (см. постановку задачи синтеза).

Подэтап 3 заключается в размножении экземпляров УМТО по количеству операций в процессе, что соответствует количеству строк в табл. 1 и 2. Кратность дуги <Длит> в операции  $S_k$  задается равной переменной  $\tau_k$ :

$$F\langle \text{ОСВып, КонтрольВып} \rangle = \langle \text{Длит} \rangle = \tau_k.$$

Для примера исходной спецификации табл. 2 получим:

$$S = \{S_1, S_2, S_3\}. \quad (5)$$

Для  $S_1$  функция инцидентности  $F\langle \text{ОСВып, КонтрольВып} \rangle = t_1$ . Для  $S_2$  и  $S_3$  составляются аналогичные выражения.

Таким образом, по результатам выполнения подэтапа 3 графологическая схема синтезируемой программы наполнится тремя экземплярами УМТО. Полученная схема представлена на рис. 6. Кратности дуг <ЗН> и <ЗК> на схеме оператора-процедуры рис. 4, находящиеся внутри прямоугольника, приравниваются нулю. Кратность дуги <Длит> задается в соответствии с равенствами (5).

На подэтапах 4 и 5 формируется структура технологических особенностей вычислений, определяющих порядок выполнения операций. Необходимо определить переход от элементов кортежа (1) к входным переменным «Старт» и «Стоп» для каждого экземпляра УМТО с использованием выражения (4).

Значение переменной «Старт» определяется значением  $Pr(B_b^{(k)})$ , значение переменной «Стоп» – значением  $Pr(B_f^{(k)})$

$$M(\text{Старт}) = \begin{cases} 1, \text{ if } Pr(B_b^{(k)}) = \text{"true"} \\ 0, \text{ if } Pr(B_b^{(k)}) = \text{"false"} \end{cases}; M(\text{Стоп}) = \begin{cases} 1, \text{ if } Pr(B_f^{(k)}) = \text{"true"} \\ 0, \text{ if } Pr(B_f^{(k)}) = \text{"false"} \end{cases}.$$

Для формальной интерпретации технологических ограничений установим, что значения выходных переменных операции  $S_i$  определяют условие выполнения экземпляра УМТО  $S_k$ . Четыре типа технологических ограничений, определяющих условия начала и окончания операций, задаются с помощью функций инцидентности. В качестве примера рассмотрим порядок задания ограничения типа «Окончание – начало».

Ограничение «Окончание – начало» означает, что  $S_k$  начнется после окончания  $S_i$ . Данное ограничение формализуется выражениями

$$J_{out}^{(l)}(\text{ИндЗакДлит}, \text{Старт}^{(k)}) = 1 \text{ и } J_{in}^{(k)}(\text{ИндЗакДлит}^{(l)}, \text{Старт}) = 1.$$

Аргументами функций инцидентности являются имена переменных, между которыми формализована связь. Верхние индексы у имен переменных обозначают принадлежность к соответствующему экземпляру УМТО. Отсутствие индекса – принадлежность к экземпляру УМТО, для которого составлена функция инцидентности.

Аналогичным образом задаются ограничения «Начало – начало», «Начало – окончание» и «Окончание – окончание».

В соответствии с (4) и предикатными выражениями табл. 2 функции инцидентности для  $S_2$  примут следующий вид:

$$J_2 = \langle J_{in}^{(2)}(\text{ИндЗакДлит}^{(1)}, \text{Старт}) = 1, J_{out}^{(2)}(\text{ИндЗакДлит}, \text{Старт}^{(3)}) = 1 \rangle.$$

Схема программы с учетом всех внесенных в нее функций инцидентности представлена на рис. 7.

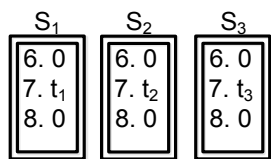


Рис. 6. Схема функционально-логической программы после подэтапа 3

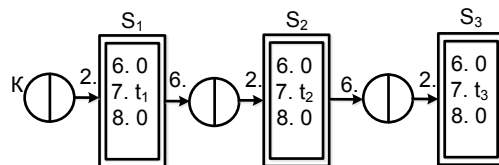


Рис. 7. Схема функционально-логической программы после подэтапа 5

На подэтапах 6 и 7 в схему программы вводятся технические ограничения контролируемого процесса с помощью  $z$ -моделей. Условие начала или окончания выполнения операции  $S_k$  от внешней информации задается с помощью функции инцидентности между предикатным переходом  $z$ -модели и входными переменными экземпляра УМТО:

$$J_{in}^{(k)} : PT \times P_{in}^{(k)} \rightarrow \{0, 1\}; P_{in}^{(k)} = \{\text{ОС, Старт, Стоп, Приостановка, Продолжение}\}.$$

Пример синтеза  $z$ -переменной и предикатного оператора для рассматриваемой исходной спецификации (см. табл. 2) представлен следующими выражениями:

$$ZP = \{\Pi\}; PT = \{q^{(3)}(\Pi) = (\Pi > 1)\}; ZF\langle \Pi, q^{(3)}(\Pi) \rangle = 1; H\langle q^{(3)}(\Pi), \text{Стоп}^{(3)} \rangle = 1; zm(\Pi) = 0.$$

Интерпретируется функция  $H$  следующим образом: условием окончания операции  $S_3$  является превышения значением  $z$ -переменной  $\Pi$  значения «1».

Таким образом, результатом синтезирующих подэтапов 3–7 является схема функционально-логической программы, представленная на рис. 8.

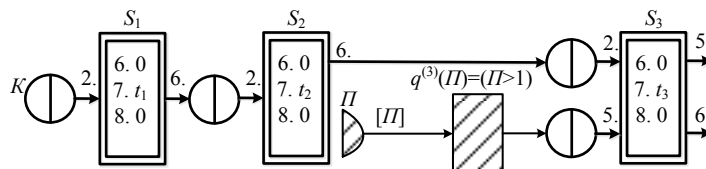


Рис. 8. Схема функционально-логической программы после подэтапа 7

## ВЕРИФИКАЦИЯ ФУНКЦИОНАЛЬНО-ЛОГИЧЕСКОЙ ПРОГРАММЫ ПОТОКОВЫХ ВЫЧИСЛЕНИЙ

Подэтапы 8–11 (см. рис. 1) заключаются в верификации сформированной программы вычислений. Порядок верификации представлен на рис. 9. Полнота и очередность выявления и компенсации ошибок определяются решаемыми при проектировании задачами.

Верификация делится на две части. Первая часть «I. Синтаксическая верификация» заключается в проверке правильности интерпретации исходной спецификации.

Синтаксическая верификация заключается в выполнении стадий ресинтеза программы  $R$  в  $R^I$ , сопоставления результата ресинтеза и проверки завершаемости программы. Ресинтез схемы программы осуществляется путем формирования элементов кортежей (1) и (2) по содержимому кортежа (3) в три шага.

**Шаг 1.** Значение  $\tau_k$  восстанавливается по следующей формуле:

$$\tau_k = F\langle \text{ОСВыв}^{(k)}, \text{КонтрольВыв}^{(k)} \rangle = \langle \text{Длит}^{(k)} \rangle.$$

**Шаг 2.** Момент начала выполнения экземпляра УМТО  $S_k$  не контролируется, так как данная величина является «планируемой» и зависит от конкретного варианта развития контролируемого процесса.



**Шаг 3.** Булевы переменные  $B_b^{(k)}$  и  $B_f^{(k)}$  восстанавливаются путем анализа функции инцидентности  $J^{(k)}$ . Порядок восстановления ограничения «Окончание – начало» может быть представлен следующей причинно-следственной связью:

$$(J_{in}^{(k)}: P_{out}^{(l)} \times P_{in}^{(k)} \rightarrow N; P_{out}^{(l)} \subseteq \{\text{ИндЗакДлит}^{(l)}, \text{ИндЗак}^{(l)}\}, P_{in}^{(k)} \subseteq \{\text{Старт}\}) \Rightarrow B_b^{(k)} = (\text{Окон } O_l).$$

Данная связь определяет, если входная функция инцидентности  $J_{in}^{(k)}$  устанавливает связь между выходной переменной «ИндЗакДлит<sup>(l)</sup>» (или «ИндЗак<sup>(l)</sup>») и входной переменной «Старт» экземпляра УМТО  $S_k$ , то условием начала  $S_k$  является окончание  $S_l$ , т. е.  $B_b^{(k)} = \text{Окон } O_l$ .

Аналогичные выражения составляются для остальных типов ограничений.

Сопоставление спецификаций осуществляется путем пооперационного сравнения компонентов программы с соответствующими компонентами исходной спецификации, после чего формируется невязка или ошибка синтеза программы. Такой подход является интерпретацией метода Флойда по верификации программ [4].

Вторая часть «II. Семантическая верификация» состоит в выявлении ошибок на уровне смыслового содержания операций программы вычислений. Пример экземпляра УМТО  $S_3$  с некорректностью по входу и выходу представлен на рис. 10. Компенсация некорректности технологических ограничений заключается в добавлении оператора «ИЛИ» для компенсации некорректности по входу, умножающего оператора – для компенсации некорректности по выходу. В качестве примера на рис. 11 представлена компенсация некорректности  $S_3$  по входу с помощью дополнительного «ИЛИ» оператора  $t_{\cap}$ .



Рис. 9. Схема верификации функционально-логической программы вычислений

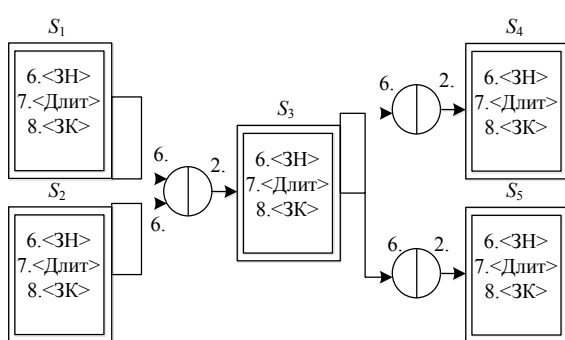


Рис. 10. Программа с некорректностью  $S_3$  по входу и по выходу

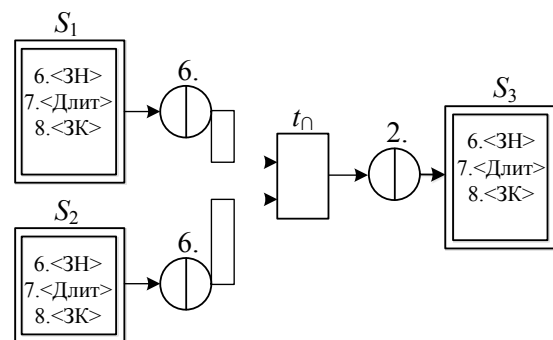


Рис. 11. Программа после компенсации некорректности  $S_3$  по входу

Ошибка, заключающаяся в противоречивости технических ограничений, может быть допущена при задании для одного экземпляра УМТО более одной z-модели. Например, для двух технических ограничений с такими областями применимости, что  $D(q_1^{(k)}(x)) \cap D(q_2^{(k)}(x)) = \emptyset$ , изменение входных переменных операции  $S_k$  будет невозможно. Компенса-

ция противоречивости технических ограничений заключается во введении в программу дополнительного предикатного оператора с областью применимости, равной объединению областей  $D(q_1^{(k)}(x))$  и  $D(q_2^{(k)}(x))$ .

Компенсация пассивности экземпляра УМТО заключается в его удалении из схемы и установки равенства 1 входным переменным экземпляров, зависимым от удаленного по какому-либо типам технологических ограничений.

Подэтап 11 (см. рис. 1) заключается в корректировке программы с целью уменьшения количества смен значений переменных в экземплярах УМТО в единицу времени [10]. Данная задача является актуальной при мониторинге сложных процессов функционирования КСр с использованием измерительной информации, поступающей со значительной частотой, что является характерным для бортовых систем ракет-носителей.

На этапе III (см. рис. 1) проводится интерпретация исполнения программы в соответствии с положениями теории мониторинга и управления состоянием ТС [11], а также оценивание синтезированной программы по системе показателей качества [12]. Оканчивается этап III формированием информационной технологии практического применения функционально-логической программы потоковых вычислений [12].

Практическая проверка [12] представленного в статье метода показала значительное повышение оперативности получения результатов мониторинга двигательной установки ракеты-носителя «Союз-2» при сохранении выполнения заданных требований по достоверности и полноте указанных результатов.

## ЗАКЛЮЧЕНИЕ

В статье рассмотрены постановка и решение задачи синтеза функционально-логических программ потоковых вычислений при мониторинге состояния КСр. Предложенный метод синтеза программ вычислений позволяет создать «язык» верхнего уровня для описания процессов обработки и анализа измерительной, технической и технологической информации, характеризующей ТС КСр.

Представленный метод отличается:

- реализацией подхода функционального программирования при синтезе программы потоковых вычислений на основе вычислительных сетей;
- разработкой процедуры синтаксической верификации синтезированной программы на основе проверки свойства ее полной (тотальной) правильности;
- формализацией процедур поиска и устранения ошибок (семантической верификацией) на основе интерпретации и проверки корректности свойств сетей Петри.

Практическая значимость и актуальность предложенного метода заключается в учете при синтезе программ вычислений факторов, искажающих процесс мониторинга состояния ТС.

## Список используемых источников

1. Риски космических проектов. Анализ причин неудачных космических запусков / Г.П. Беляков и др. // Вестник СибГАУ. – 2014. – № 5 (57). – С. 208–215.
2. Колмагоров А.Н. К определению алгоритма // Успехи математических наук. – 1958. – Т. XIII, Вып. 4 (82). – С. 3–28.
3. Усталов Д.А. Коллективные потоковые вычисления: реляционные модели и алгоритмы // Моделирование и анализ информационных систем. – 2016. – Вып. 23 (2). – С. 195–210.
4. Виноградов Р.А., Кузьмин Е.В., Соколов В.А. Верификация автоматных программ средствами CPN/Tools // Моделирование и анализ информационных систем. – 2006 – Т. 13, № 2. – С. 4–15.

5. *Амбарцумян А.А.* Сетецентрическое управление на сетях Петри в структурированной дискретно-событийной системе // Управление большими системами. – 2017. – Спец. вып. 30.1 «Сетевые модели в управлении». – С. 506–535.
6. *Дьяченко Р.А., Фишер А.В., Богданов В.В.* Моделирование систем сбора и передачи данных с применением цветных сетей Петри // Fundamental Research. – 2013. – № 11. – P. 1122–1126.
7. *Westergaard M., Kristensen L.M.* The Access/CPN Framework: A Tool for Interacting with the CPN Tools Simulator // Proc. of 30<sup>th</sup> International Conference on Applications and Theory of Petri Nets (Petri Nets 2009). Lecture Notes in Computer Science. – Berlin: Springer-Verlag, 2009. – № 5606. – P. 313–322.
8. *Jensen K., Kristensen L.M., Wells. L.* Coloured Petri Nets and CPN Tools for Modelling and Validation of Concurrent Systems // International Journal on Software Tools for Technology Transfer (STTT). – 2007. – № 9 (3–4). – P. 213–254.
9. *Шмелёв В.В.* Модели технологических процессов функционирования космических средств // Авиакосмическое приборостроение. – 2015. – № 4. – С. 78–93.
10. *Шмелёв В.В., Мануйлов Ю.С.* Вычислительная ресурсоемкость сетевой модели обработки и анализа измерительной информации ракеты-носителя «Союз-2» // Информация и космос. – 2016. – № 1. – С. 155–161.
11. *Охтилев М.Ю., Соколов Б.В.* Новые информационные технологии мониторинга и управления состояниями сложных технических объектов в реальном масштабе времени // Труды СПИИРАН. – 2005. – Т. 2, № 2. – С. 249–265.
12. *Шмелёв В.В., Деев В.В., Ткаченко В.В.* Метод организации потоковых вычислений при интеллектуальном мониторинге состояния технических систем // Научные технологии в космических исследованиях земли. – 2017. – Т. 9, № 6. – С. 24–35.